

# I 解答例

## 1. ラグランジアン $L = T - V$ の導出

$$L = T - V = \frac{1}{2}m(\dot{x}_1^2 + \dot{x}_2^2 + \dot{x}_3^2) - \left\{ kx_1^2 + \frac{1}{2}k(x_2 - x_1)^2 + \frac{1}{2}k(x_3 - x_2)^2 \right\},$$

もしくは、その変形。

## 2. 各階の運動方程式

$$m\ddot{x}_1 + 3kx_1 - kx_2 = 0, \quad (1)$$

$$m\ddot{x}_2 - kx_1 + 2kx_2 - kx_3 = 0, \quad (2)$$

$$m\ddot{x}_3 - kx_2 + kx_3 = 0. \quad (3)$$

## 3. 行列表示

$$\ddot{X} + KX = 0, \quad X = \begin{pmatrix} x_1 \\ x_2 \\ x_3 \end{pmatrix}, \quad K = \frac{k}{m} \begin{pmatrix} 3 & -1 & 0 \\ -1 & 2 & -1 \\ 0 & -1 & 1 \end{pmatrix}.$$

## 4. 固有振動数

固有解を  $X(t) = Ae^{i\omega t}$  と置き  $\det(K - \omega^2 I) = 0$  より

$$-\lambda^3 + 6\lambda^2 - 9\lambda + 2 = 0, \quad \lambda \equiv \frac{m}{k}\omega^2.$$

因数分解すると

$$(\lambda - 2)(\lambda^2 - 4\lambda + 1) = 0 \implies \lambda_1 = 2 - \sqrt{3}, \lambda_2 = 2, \lambda_3 = 2 + \sqrt{3}.$$

よって

$$\omega_i = \sqrt{\frac{k}{m}\lambda_i} = \sqrt{\frac{k}{m}(2 - \sqrt{3})}, \sqrt{\frac{2k}{m}}, \sqrt{\frac{k}{m}(2 + \sqrt{3})}, \quad (i = 1, 2, 3).$$

## 5. 数値例（最も遅い固有振動数）

$$\text{最小固有角振動数 } \omega_{\min} = \sqrt{\frac{k}{m}(2 - \sqrt{3})} = 7.32 \text{ s}^{-1}$$

最小固有振動数

$$f_{\min} = \frac{\omega_{\min}}{2\pi} = 1.17 \text{ Hz} \approx 1.2 \text{ Hz}.$$

## 6. 固有振動数を 3 Hz 以上にするための柱本数

$n$  本の柱による水平方向ばね定数は  $k = nk_0$  ( $k_0 = 10^7 \text{ N/m}$ )。

最小固有振動数について

$$f_{\min} \sqrt{n} \geq 3 \text{ Hz} \implies n \geq \left( \frac{3}{1.17} \right)^2 \approx 6.58.$$

柱本数は整数であるため  $n = 7$  本 が最小。

## III 解答例

1.  $S_1$  上の表面電荷密度 :  $\sigma_1 = \frac{Q}{4\pi R_1^2}$ ,  
 $S_2$  上の表面電荷密度 :  $\sigma_2 = -\frac{Q}{4\pi R_2^2}$

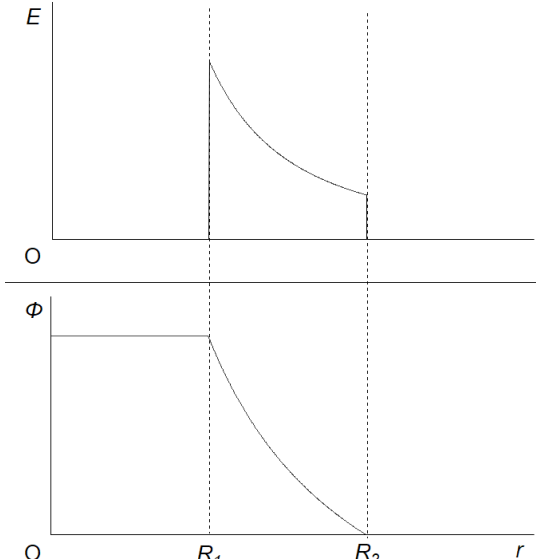
2. ガウスの法則を適用し,

$$E(r) = \begin{cases} 0 & (r < R_1) \\ \frac{Q}{4\pi\epsilon_0 r^2} & (R_1 \leq r < R_2) \\ 0 & (R_2 \leq r) \end{cases}$$

静電ポテンシャルは,

$$\phi(r) = - \int E(r) dr = \begin{cases} \frac{Q}{4\pi\epsilon_0 R_1} - \frac{Q}{4\pi\epsilon_0 R_2} & (r < R_1) \\ \frac{Q}{4\pi\epsilon_0 r} - \frac{Q}{4\pi\epsilon_0 R_2} & (R_1 \leq r < R_2) \\ 0 & (R_2 \leq r) \end{cases}$$

グラフは以下のようになる。



3.  $U_E = \frac{Q^2}{8\pi\epsilon_0} \left( \frac{1}{R_1} - \frac{1}{R_2} \right)$

4. リングを流れる電流:  $\frac{Q\omega}{4\pi} \sin \theta d\theta$

このリングを流れる電流によって原点に生じる磁束密度は  $dB_z(\theta) = \frac{\mu_0 Q \omega \sin^3 \theta}{8\pi R_1} d\theta$ 。

5.  $B(r=0) = \int_0^\pi \frac{\mu_0 Q \omega \sin^3 \theta}{8\pi R_1} d\theta = \frac{\mu_0 Q \omega}{6\pi R_1}$

6. 磁場に関するガウスの法則 ( $\operatorname{div} \mathbf{B} = 0$  の積分形  $\int_S \mathbf{B} \cdot \mathbf{n} dS = 0$ ) を  $S_1$  をまたぐ微小立方体に適用すると,  $B_r(r=R_1^+) = B_r(r=R_1^-)$  を得る ( $S_1$  で連続)。 $B_r = \frac{\partial \phi_B}{\partial r}$  だから

$$\sum_{n=1}^{\infty} \frac{n\alpha_n}{R_1} P_n(\cos \theta) = \sum_{n=1}^{\infty} -\frac{(n+1)\beta_n}{R_1} P_n(\cos \theta)$$

$$\rightarrow \alpha_n = -\frac{n+1}{n} \beta_n$$

7. アンペールの法則を  $S_1$  をまたぐ微小長方形の経路に適用すると  $\mu_0 dI = \{B_\theta(r = R_1^+) - B_\theta(r = R_1^-)\} R_1 d\theta = \left\{ \frac{\partial \Phi_B}{\partial \theta}(r = R_1^+) - \frac{\partial \Phi_B}{\partial \theta}(r = R_1^-) \right\} d\theta$  となる。

ところで、4.から  $\frac{dI}{d\theta} = \frac{Q\omega}{4\pi} \sin \theta = -\frac{Q\omega}{4\pi} \frac{d \cos \theta}{d\theta} = -\frac{Q\omega}{4\pi} \frac{d}{d\theta} P_1(\cos \theta)$  なので、

$$-\frac{\mu_0 Q \omega}{4\pi} P_1(\cos \theta) = \Phi_B(r = R_1^+) - \Phi_B(r = R_1^-)$$

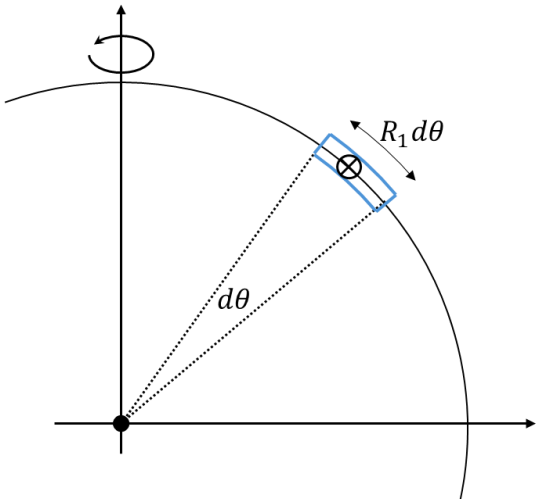
$$= \sum_{n=1}^{\infty} (\beta_n - \alpha_n) P_n(\cos \theta)$$

ルジャンドル多項式の直交性から  $\alpha_n = \beta_n = 0$  (for  $n \neq 1$ )を得る。 $n = 1$ に関しては

$$-\frac{\mu_0 Q \omega}{4\pi} = \beta_1 - \alpha_1$$

を得るが、6.の結果から、 $\alpha_1 = -2\beta_1$  なので

$$\alpha_1 = \frac{\mu_0 Q \omega}{6\pi}, \quad \beta_1 = -\frac{\mu_0 Q \omega}{12\pi}$$



8. 前問までの結果から

$$\Phi_B(r < R_1) = \frac{\mu_0 Q \omega r}{6\pi R_1} \cos \theta$$

$$\Phi_B(r > R_1) = -\frac{\mu_0 Q \omega R_1^2}{12\pi r^2} \cos \theta$$

$\mathbf{B}(\mathbf{r}) = \nabla \Phi_B$  から

$r < R_1$  では

$$\mathbf{B}(\mathbf{r}) = \frac{\partial \Phi_B}{\partial r} \mathbf{e}_r + \frac{1}{r} \frac{\partial \Phi_B}{\partial \theta} \mathbf{e}_\theta + \frac{1}{r \sin \theta} \frac{\partial \Phi_B}{\partial \phi} \mathbf{e}_\phi = \frac{\mu_0 Q \omega}{6\pi R_1} (\cos \theta \mathbf{e}_r - \sin \theta \mathbf{e}_\theta) = \frac{\mu_0 Q \omega}{6\pi R_1} \mathbf{e}_z$$

$r > R_1$  では

$$\mathbf{B}(\mathbf{r}) = -\frac{\mu_0 Q \omega R_1^2}{12\pi} \left( -\frac{2}{r^3} \cos \theta \mathbf{e}_r - \frac{1}{r^3} \sin \theta \mathbf{e}_\theta \right) = \frac{\mu_0 Q \omega R_1^2}{12\pi r^3} (2 \cos \theta \mathbf{e}_r + \sin \theta \mathbf{e}_\theta)$$

9. 電場が存在するのは  $S_1$  と  $S_2$  で囲まれた領域だけ。この領域でポインティングベクトル

$$\mathbf{S} = \mathbf{E} \times \mathbf{B} / \mu_0 = \frac{Q^2 \omega R_1^2 \sin \theta}{48\pi^2 \epsilon_0 r^5} \mathbf{e}_\phi$$

したがって、ポインティングベクトルは  $\mathbf{e}_\phi$  成分だけを持つので、 $xy$  面内で循環する。

